

อิทธิพลของธาตุผสมและอุณหภูมิที่ใช้อบต่อคุณสมบัติทางกลของโลหะผงเหล็กกล้าอัดขึ้นรูป

Influences of Element Content and Sintering Temperature

on Mechanical Properties of Sintered Steels

ศุภชัย สุรพันธ์

ภาควิชาวิศวกรรมอุตสาหการ คณะวิศวกรรมศาสตร์

มหาวิทยาลัยธรรมศาสตร์ ศูนย์รังสิต อำเภอคลองหลวง จังหวัดปทุมธานี 12121

ไชยาธุ มูโต

ภาควิชาวิศวกรรมเครื่องกล มหาวิทยาลัยเทคโนโลยีราชมงคลอีสาน นา้อโภ 940-2188 ญี่ปุ่น

บทคัดย่อ

ทำการทดสอบแรงดึงและความต้านความล้าของชิ้นงานโลหะผงเหล็กผสมท้องแดงอัดขึ้นรูป 3 ชนิด (Fe-0.6%C-1.7%Cu, Fe-0.8%C-2.1%Cu และ Fe-1.2%C-0.01%Cu) ที่ผ่านการอบที่อุณหภูมิที่ช่วงระหว่าง 900 ถึง 1200 องศาเซลเซียส เพื่อศึกษาอิทธิพลของธาตุผสมและอุณหภูมิที่ใช้อบต่อคุณสมบัติทางกล ผลจากการทดลองพบว่า การอบที่อุณหภูมิสูงกว่า 1100 องศาเซลเซียส เหล็กกล้าผสมที่มีองค์ประกอบ Fe-0.8%C-2.1%Cu มีค่าความหนาแน่น ความต้านแรงดึง อัตราการยืดตัว และ ความต้านความล้ามากกว่าเหล็กกล้าผสมอีก 2 ชนิด เนื่องจากมีปริมาณคาร์บอนที่เหมาะสมที่ทำให้เกิดเฟลส่วนใหญ่เป็นเพลทเทอร์และมีโลหะของแดงผสมในปริมาณที่มากกว่าเหล็กกล้าผสมชนิดอื่น ในขณะที่อุบโลหะท้องแดงอยู่ในสภาวะหลอมเหลวและมีสภาวะเป็นสารละลายของแข็งในเนื้อเหล็กทำให้มีความหนาแน่นมากขึ้น เหล็กกล้าผสม Fe-1.2%C-0.01%Cu เป็นเหล็กกล้าที่มีปริมาณคาร์บอนมากและปริมาณทองแดงน้อย ทำให้มีค่าความหนาแน่น อัตราการยืดตัว และความต้านความล้าต่ำ ขณะที่ค่าความต้านแรงดึงอยู่ในช่วงระหว่างค่าของโลหะผสมอีก 2 ชนิด ทั้งนี้เนื่องจากมีคาร์บอนปริมาณมาก ทำให้เกิดเฟลส่วนใหญ่เป็นฟลีเมนไทรท์ที่เปราะ และมีท้องแดงปริมาณน้อย ทำให้เกิดรูพรุนในลักษณะปลายแหลม การอบที่อุณหภูมิ 1200 องศาเซลเซียส ทำให้เกรนเม็ดขนาดใหญ่มากขึ้นทำให้ความต้านแรงดึงเพิ่มขึ้นไม่มาก ภาพแสดงรอยแตกที่ถูกจำกัดด้วยจุลทรรศน์อิเล็กทรอน แสดงให้เห็นการเริ่มเกิดรอยร้าวที่รูพรุนในเนื้อชิ้นงานและขยายตัวตามขอบอนุภาคโลหะ ไปสู่การแตกหัก

คำสำคัญ : ความหนาแน่น ความต้านแรงดึง ความต้านความล้า โลหะผงเหล็กกล้าอัดขึ้นรูป อุณหภูมิที่ใช้อบ ทองแดงผสม

Abstract

Tensile and fatigue tests of three compositions of steels, Fe-0.6%C-1.7%Cu, Fe-0.8%C-2.1%Cu and Fe-1.2%C-0.01%Cu sintered at wide range of temperatures from 900°C to 1200°C were carried out to investigate effects of element content and sintering temperature. When sintering temperature was higher than 1100°C, Fe-0.8%C-2.1%Cu steel exhibited higher density, tensile strength, elongation and fatigue strength compared to the other two steels because of proper amount of C content resulting in matrix pearlite phase and higher Cu content compared to the other steels. While it

was sintered at this temperature, Cu contributed to liquid sintering process and also to high density. Fe-1.2%C-0.01%Cu steel with high C content and low Cu content showed the lowest density, elongation and fatigue strength, while tensile strength was in between other two steels. The high C content will contribute to high tensile strength, while it will degrade elongation and fatigue strength due to formation of brittle martensite matrix phase and sharp pores. When the sintering temperature was at 1200°C, grain growth was occurred and resulted in slightly increase in tensile strength. The fracture surface investigated by a scanning electron microscope showed fatigue cracks nucleated at pores in side the specimen and propagated along the particle boundaries to final fracture.

Keywords: Density, Tensile strength, Fatigue strength, Sintered steel, Sintering temperature, Cu content

1. บทนำ

โลหะพลาสติกสมทรงแดงที่มีคาร์บอนอยู่ในช่วงระหว่าง 0.3 ถึง 1 เพรอร์เซ็นต์ และมีทองแดงอยู่ในช่วงระหว่าง 0.5 ถึง 2 เพรอร์เซ็นต์ เป็นโลหะพลาสติกพื้นฐานที่สำคัญและใช้มากในการผลิตชิ้นส่วนยานยนต์ด้วยกรรมวิธีโลหะพลาสติกอัดขึ้นรูป และอบที่อุณหภูมิสูงเพื่อให้เกิดความแข็งแรง[1] ความแข็งแรงของชิ้นงานเกิดขึ้นจากปัจจัยหลายประการ ได้แก่ ลักษณะและขนาดของอนุภาคโลหะ ความหนาแน่นของชิ้นงานที่ผ่านการอัดขึ้นรูป อุณหภูมิและเวลาที่ใช้ในการอบชิ้นงาน และอัตราเร้าภายในการเย็บตัวของชิ้นงาน[2-5] เทคนิคโลหะพลาสติกโลหะพลาสติกอัดขึ้นรูปมีข้อได้เปรียบหลายประการ เช่น สามารถผลิตชิ้นงานได้อย่างรวดเร็ว ชิ้นงานที่ผลิตได้มีลักษณะใกล้เคียงกับชิ้นงานที่ต้องการ จึงสามารถลดกระบวนการผลิตบางขั้นตอนลงได้ เมื่อเปรียบเทียบ กับกระบวนการผลิตแบบดั้งเดิมซึ่งได้แก่ การหล่อโลหะ การตีขีนรูป การตัดและกลึงขึ้นรูป ข้อได้เปรียบที่สำคัญอีกประการหนึ่ง สำหรับเทคโนโลยีโลหะพลาสติกอัดขึ้นรูปคือสามารถผลิตวัสดุชนิดใหม่ ที่มีองค์ประกอบเฉพาะ ซึ่งไม่สามารถผลิตได้โดยกรรมวิธีการหลอมโลหะ[2] โลหะพลาสติกอัดขึ้นรูปมีความแข็งแรงและความหนาแน่นอย่างกว่าโลหะที่ผ่านการหลอมเหล็กมาก มีความหนาแน่นน้อยกว่า[3-5] อย่างไรก็ตามชิ้นงานโลหะพลาสติกอัดขึ้นรูปยังคงต้องการพัฒนาให้มีความแข็งแรง ความเหนียว และทนต่อการลึกหรือดึงน้ำ การศึกษาสภาพต่างๆ ของการอบซึ่งเป็นปัจจัยที่สำคัญ จากข้อมูลการทดลองที่ผ่านมาได้มีการศึกษาสภาพของ การอบในช่วงอุณหภูมิที่แคบ สำหรับการผลิตในโรงงานอุตสาหกรรม[5-11] ในการทดลองครั้งนี้จึงได้ศึกษาอิทธิพลของปริมาณ

ชาติผู้ผลิตและสภาพของการอบในช่วงอุณหภูมิที่กว้างมากขึ้น เพื่อให้ทราบถึงเงื่อนไขที่ดีที่สุดในการผลิตชิ้นงานและเป็นข้อมูลในการวิเคราะห์ความเสี่ยงที่เกิดจากการผลิตในโรงงานอุตสาหกรรมผลิตชิ้นส่วนยานยนต์ด้วยกรรมวิธีโลหะพลาสติกอัดขึ้นรูป

2. วิธีการทดลอง

2.1 การเตรียมชิ้นงาน

โลหะพลาสติกที่ใช้ในการทดลองมีองค์ประกอบแตกต่างกัน 3 ชนิด คือ 1) โลหะพลาสติกที่มีคาร์บอนร้อยละ 0.6 และทองแดงร้อยละ 1.7 (Fe-0.6%C-1.7%Cu) 2) โลหะพลาสติกที่มีคาร์บอนร้อยละ 0.8 และทองแดงร้อยละ 2.1 (Fe-0.8%C-2.1%Cu) และ 3) โลหะพลาสติกที่มีคาร์บอนร้อยละ 1.2 และทองแดงร้อยละ 0.01 (Fe-1.2%C-0.01%Cu) นำโลหะง่ายอัดขึ้นรูปเป็นชิ้นงานทดสอบเมล็ดข้าวเปลือกแห้ง รีหัวตัดเป็นรูปสี่เหลี่ยมจัตุรัส ขนาด 10.5x10.5x56 มิลลิเมตร ทำการอัดขึ้นรูปด้วยเครื่องอัดโลหะพลาสติกที่ใช้อุตสาหกรรมการผลิต ที่โรงงานผลิตชิ้นส่วนโลหะพลาสติกอัดขึ้นรูป โดยใช้แบบที่มีการคลื่อนที่ 2 ทิศทาง เพื่อให้ชิ้นงานที่มีความหนาแน่น 6.4 กรัมต่อกลุ่มบาร์ค์ เช่นกิโลกรัม อย่างล้ำสมองทั่วทั้งชิ้นงาน โดยกำหนดน้ำหนักของชิ้นงาน 37.4 กรัม

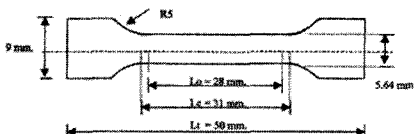
นำชิ้นงานแห้งแล้วสีเหลืองที่ได้จากการอัดขึ้นรูปไปอบที่อุณหภูมิ 900, 1000, 1100, 1150 และ 1200 องศาเซลเซียส เป็นเวลา 1 ชั่วโมง ควบคุมบรรยายกาศภายในเตาด้วยก๊าซอาชีวภาพเพื่อป้องกันการเกิดออกไซด์ และปล่อยไห้ยึดตัวใน

บรรยายการของก้าชาร์กอนลงมาที่อุณหภูมิห้อง จากนั้นนำมาเก็บไว้ในภาชนะสูญญากาศเพื่อใช้ในการทดสอบต่อไป

ชิ้นงานที่ผ่านการอบที่อุณหภูมิต่างๆ นำวัดค่าความแข็งโดยใช้เครื่องทดสอบความแข็งแบบร็อกเวล (Rockwell) วัดค่าความหนาแน่นของชิ้นงานโดยกรรมวิธีอาร์คิเมดีส (Archimedes Method) และทำการศึกษาโครงสร้างจุลภาคโดยใช้กล้องจุลทรรศน์แบบแสง เพื่อที่จะอธิบายถึงกลไกที่ทำให้คุณสมบัติทางกลเปลี่ยนไป

2.2 การทดสอบแรงดึงและความล้ำ

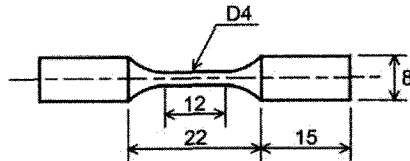
นำชิ้นงานแห่งสี่เหลี่ยมที่ผ่านการอบแล้วไปกลึงขึ้นรูปเป็นชิ้นงานมาตรฐานสำหรับทดสอบแรงดึง มีช่วงความยาวส่วนยืด(Gage length) 28 มิลลิเมตร และขนาดเส้นผ่าศูนย์กลางห่วงส่วนยืด 5.6 มิลลิเมตร ดังแสดงในรูปที่ 1 ก่อนทำการทดสอบชุดผิวชิ้นงานให้เรียบเพื่อป้องกันการแตกหักเนื่องจากการอุ่นที่เกิดจากการกลึงขึ้นรูป ทำการทดสอบแรงดึง โดยการดึงชิ้นงานด้วยอัตราเร็ว 1 มิลลิเมตรต่อนาที



รูปที่ 1 แสดงขนาดของชิ้นงานมาตรฐานสำหรับการทดสอบแรงดึง

การทดสอบความล้ำ ใช้ชิ้นงานโลหะแผงเหล็กอัดขึ้นรูป เป็นแห่งสี่เหลี่ยม อบที่อุณหภูมิ 1200 องศาเซลเซียส เวลา 1 ชั่วโมง ควบคุมบรรยายกาศภายในเตาด้วยก้าชาร์กอน นำชิ้นงานที่ได้มากลึงขึ้นรูปเป็นชิ้นงานมาตรฐานสำหรับทดสอบความล้ำ ดังแสดงในรูปที่ 2 ก่อนการทดสอบชิ้นงานทำการขัดผิวละเอียดอีกครั้งด้วยกระดาษทรายละเอียดและตรวจสอบจนไม่มีรอยขัดที่

เกิดขึ้นบนชิ้นงาน ทำการทดสอบความล้ำด้วยค่าความลี 30 รอบต่อวินาที ที่สัดส่วนความเค้น -1 ตรวจสอบบรรยายเดกที่ผิวของชิ้นงานด้วยกล้องจุลทรรศน์อิเล็กตรอน



รูปที่ 2 แสดงขนาดของชิ้นงานมาตรฐานสำหรับการทดสอบความล้ำ

3. ผลการทดลอง และวิเคราะห์ผลการทดลอง

3.1 ความหนาแน่น ความแข็ง และโครงสร้างจุลภาค

ค่าความหนาแน่น และค่าความแข็งของชิ้นงานทดสอบที่ผ่านการอบที่อุณหภูมิต่างๆ แสดงในตารางที่ 1 จะเห็นได้ว่าเหล็กกล้าอัดขึ้นรูปที่เมืองคปรกอบ Fe-0.8%C-2.1%Cu ซึ่งเป็นเหล็กกล้าที่มีปริมาณเหล็กมาก แม้ค่าความหนาแน่นและความแข็งมากที่สุด เหล็กกล้า Fe-0.6%C-1.7%Cu มีค่าความหนาแน่นมากกว่า เหล็กกล้าชนิด Fe-1.2%C-0.01%Cu ซึ่งมีทองแดงในปริมาณที่น้อยกว่า ผลของการทดลองแสดงให้เห็นว่าโลหะทองแดงที่เติมในโลหะผงเหล็กกล้า ทำให้ความหนาแน่นของวัสดุเพิ่มมากขึ้น เนื่องจากการอบที่อุณหภูมิ 1100 องศาเซลเซียส เป็นอุณหภูมิที่สูงกว่าอุณหภูมิหลอมเหลวของทองแดง ทำให้ห้องแดงอยู่ในสภาพหลอมเหลว ละลายในเหล็กในลักษณะสารละลายของแข็ง เหล็กกล้าชนิด Fe-1.2%C-0.01%Cu มีปริมาณคาร์บอนมาก ทำให้มีค่าความแข็งมากขึ้นเนื่องจากเกิดเฟลซิเมนเนท(Cementite) ในขณะที่ค่าความหนาแน่นต่ำกว่าเหล็กกล้าอีก 2 ชนิด

ตารางที่ 1 ค่าความหนาแน่น ความแข็ง เฟส ความต้านแรงดึง และความเหนียว(อัตราการยืดตัว) ของโลหะผงเหล็กกล้าอัดขึ้นรูปทั้ง 3 ชนิดอุบเป็นอุณหภูมิ 900 ถึง 1200 องศาเซลเซียส

ชนิดโลหะผงเหล็กกล้า อัดขึ้นรูป	อุณหภูมิ (°C)	ความหนาแน่น (Mg/m ³)	ความแข็ง (HRB)	เฟส	ความต้านแรงดึง (MPa)	ความเหนียว %
Fe-0.6%C-1.7%Cu	900	6.6	48.8	F+P+Cu	180	2.5
	1000	6.74	53.2	F+P+Cu	246	2.9
	1100	6.83	62.5	F+P	284	3.6
	1150	6.92	65.1	F+P	302	3.6
	1200	6.96	65.6	F+P	308	3.6
Fe-0.8%C-2.1%Cu	900	6.7	56.0	F+P+Cu	219	2.7
	1000	6.87	63.5	F+P+Cu	318	3.2
	1100	7.05	78.3	P	386	3.8
	1150	7.10	86.2	P	392	3.7
	1200	7.13	87.7	P	390	3.7
Fe-1.2%C-0.01%Cu	900	6.18	51.6	F+P+Cu	207	2.0
	1000	6.39	63.7	F+P+Cu	285	2.5
	1100	6.75	76.5	P+Cem	318	3.2
	1150	6.78	82.7	P+Cem	354	3.3
	1200	6.81	85.3	P+Cem	365	3.1

F: เพอร์ไรท์(Ferrite)

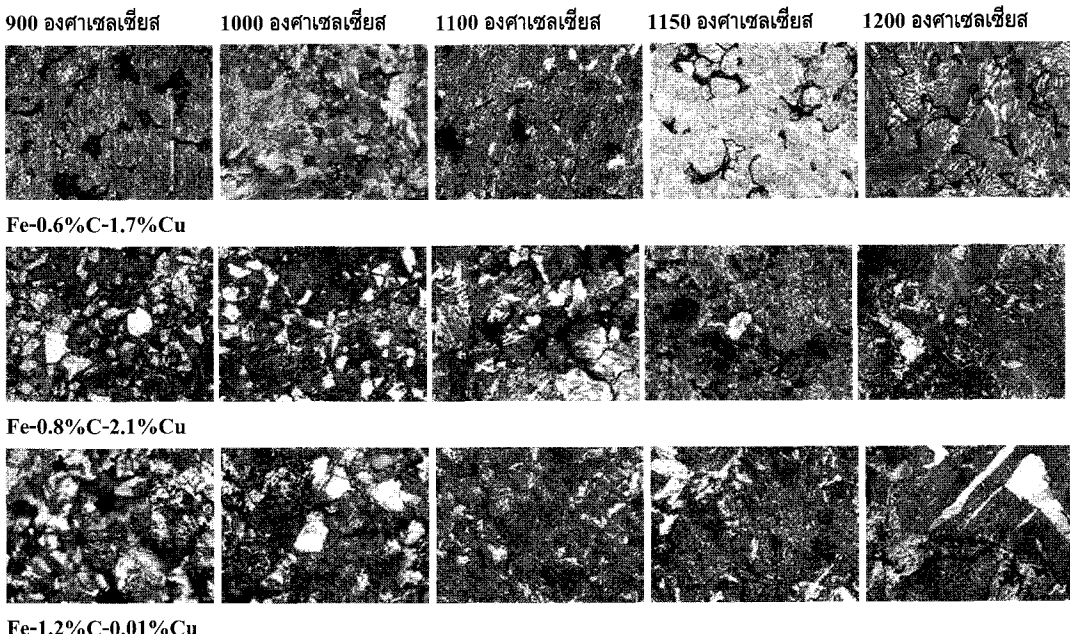
P: เพียร์ลิต(Pearlite)

Cu: โลหะทองแดง(Copper metal)

Cem: ซีเมนไทด์(Cementite)

โครงการสร้างจุลภาคของเหล็กกล้าอัดขึ้นรูปทั้ง 3 ชนิด ที่ผ่านการอบเป็นอุณหภูมิในช่วง 900 ถึง 1200 องศาเซลเซียส แสดงในรูปที่ 3 เหล็กกล้าทั้ง 3 ชนิด ที่ผ่านการอบเป็นอุณหภูมิต่ำกว่า 1000 องศาเซลเซียส ประกอบด้วยเฟสชนิดเดียวทั้ง 3 เฟส คือ เพียร์ลิต(Pearlite) เพอร์ไรท์(Ferrite) และ ทองแดง โดยมีลักษณะของเฟสและรูปรุ่นในปริมาณที่แตกต่างกัน ในกรณีที่อุณหภูมิการอบสูงกว่า 1100 องศาเซลเซียส เหล็กกล้าชนิด Fe-0.6%C-1.7% Cu ประกอบด้วยเฟสของเพียร์ลิตเป็นส่วนใหญ่และมีเฟสของซีเมนไทด์เล็กน้อย การอบที่อุณหภูมิสูงกว่า 1100 องศาเซลเซียส ทองแดงจะหายไปในเหล็กและอยู่ในสภาพสารละลายของเทิง เมื่ออุณหภูมิของการอบสูงที่ 1200 องศาเซลเซียส เกรนของเพียร์ลิตจะเล็กน้อยมากขึ้นเมื่อเทียบกับการอบที่อุณหภูมิต่ำกว่า

C-2.1%Cu ประกอบด้วยเฟสของเพียร์ลิตอย่างเดียว และเหล็กกล้าชนิด Fe-1.2%C-0.01%Cu ประกอบด้วยเฟสของเพียร์ลิต เป็นส่วนใหญ่และมีเฟสของซีเมนไทด์เล็กน้อย การอบที่อุณหภูมิสูงกว่า 1100 องศาเซลเซียส ทองแดงจะหายไปในเหล็กและอยู่ในสภาพสารละลายของเทิง เมื่ออุณหภูมิของการอบสูงที่ 1200 องศาเซลเซียส เกรนของเพียร์ลิตจะเล็กน้อยมากขึ้นเมื่อเทียบกับการอบที่อุณหภูมิต่ำกว่า



รูปที่ 3 โครงสร้างจุลภาคของโลหะพงเหล็กกล้าอัดขึ้นรูปทั้ง 3 ชนิด อบที่อุณหภูมิ 900, 1000, 1100, 1150 และ 1200 องศาเซลเซียส เป็นเวลา 1 ชั่วโมง กำลังขยายภาพ 500 เท่า

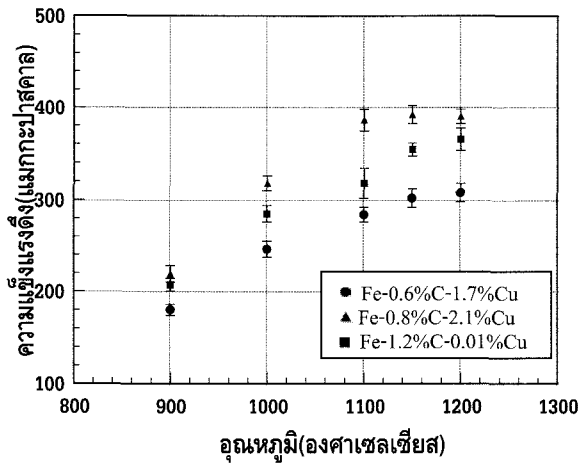
จากผลการทดลองที่ผ่านมา สามารถที่จะสรุปได้ว่า (1) ปริมาณทองแดงที่ผสมอยู่ในเหล็กกล้าอัดขึ้นรูปมากขึ้น จะทำให้ชั้นงานมีความหนาแน่นมากขึ้น มีรูพรุนน้อยลง (2) ปริมาณคาร์บอนที่ผสมอยู่ในเหล็กกล้าอัดขึ้นรูปมากขึ้น จะทำให้มีความแข็งมากขึ้น และ (3) การอบที่อุณหภูมิต่ำกว่า 1000 องศาเซลเซียส ทำให้ห้องแดงอยู่ในสภาพเป็นโลหะในโครงสร้างจุลภาค

3.2 การทดสอบแรงดึง

ความล้มเหลวนี้ ระหว่างค่าความต้านแรงดึงทึบอุณหภูมิของการอบ สำหรับโลหะพงเหล็กกล้าอัดขึ้นรูปทั้ง 3 ชนิด แสดงในรูปที่ 4 ถ้าไม่พิจารณาองค์ประกอบทางเคมี ความแข็งแรงของชั้นงานเพิ่มขึ้นเมื่อทำการอบชั้นงานที่อุณหภูมิสูงขึ้น ซึ่งค่าความแข็งแรงของชั้นงานเพิ่มขึ้นมากเมื่ออบที่ช่วงอุณหภูมิ 900 ถึง 1000 องศาเซลเซียส และค่าความแข็งแรงของชั้นงานมีค่าเปลี่ยนแปลงเพียงเล็กน้อย หรือเกือบคงที่ เมื่ออบชั้นงานที่อุณหภูมิสูงกว่า 1100 องศาเซลเซียส การกระจายของข้อมูลแสดงในรูปที่ 4 การกระจายข้อมูลของเหล็กกล้าชนิด Fe-1.2%C-0.02%Cu มี

ค่ามากกว่าของเหล็กกล้าชนิดอื่นๆ เนื่องจากเป็นเหล็กกล้าอัดขึ้นรูปที่มีความหนาแน่นต่ำกว่าและมีรูพรุนมาก ซึ่งเป็นผลจากการที่มีทองแดงผสมปริมาณแล้วก้อนห้อง

ค่าเฉลี่ยของความแข็งแรงและอัตราการยืดตัวแสดงในตารางที่ 1 จะเห็นได้ว่าเหล็กกล้าอัดขึ้นรูปชนิด Fe-0.8%C-2.1%Cu มีค่าความแข็งแรงสูงสุดและต่ำอัตราการยืดตัวสูงสุด เมื่อเปรียบเทียบกับเหล็กกล้าอัดขึ้นรูปชนิดอื่นๆ ค่าความแข็งแรงของเหล็กกล้าอัดขึ้นรูปชนิด Fe-0.6%C-1.7%Cu มีค่าต่ำกว่า เมื่อเปรียบเทียบกับเหล็กกล้าอัดขึ้นรูปชนิด Fe-0.8%C-2.1%Cu เนื่องจากมีความหนาแน่นต่ำกว่าและมีเฟสเฟอร์ไรท์ที่เหนียวแต่ในทางกลับกันค่าอัตราการยืดตัวจะสูงขึ้น ค่าความแข็งแรงของเหล็กกล้าอัดขึ้นรูปชนิด Fe-1.2%C-0.02%Cu มีค่าอยู่ระหว่างเหล็กกล้าอัดขึ้นรูปทั้ง 2 ชนิด ซึ่งเป็นผลเนื่องมาจากสมดุลกันระหว่างการมีค่าความหนาแน่นที่ต่ำและเฟสเฟอร์ไรท์ที่แข็ง ซึ่งทั้ง 2 ปัจจัยนี้ทำให้เหล็กกล้าอัดขึ้นรูปชนิดนี้มีอัตราการยืดตัวน้อยที่สุด



รูปที่ 4 กราฟแสดงความสัมพันธ์ระหว่างความต้านแรงดึงและอุณหภูมิอุบั้นงาน สำหรับโลหะผงเหล็กกล้าอัดขึ้นรูปทั้ง 3 ชนิด

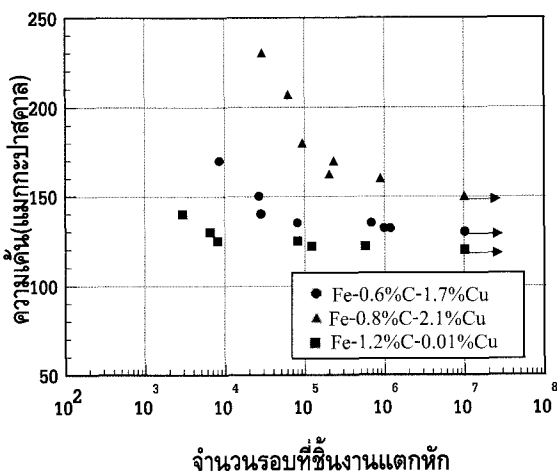
3.3 การทดสอบความล้า

จากการทดสอบความต้านความล้า ความสัมพันธ์ระหว่างขนาดของความเด่นและจำนวนรอบที่ทำให้ชิ้นงานแตกหัก ของชิ้นงานทดสอบทั้ง 3 ชนิด แสดงในรูปที่ 5 เครื่องหมายลูกศรแสดงถึงชิ้นงานที่ทนต่อการแตกหักที่จำนวนรอบ 10^7 รอบ ค่าของความเด่นที่ทนต่อการแตกหัก มีค่า 130, 150 และ 120 แมกกะปานิคอล สำหรับชิ้นงาน Fe-0.6%C-1.7%Cu, Fe-0.8%C-2.1%Cu และ Fe-1.2%C-0.02%Cu ตามลำดับ การเบรี่ยบเทียบผลการทดสอบแรงดึงและการทดสอบความล้า แสดงในตารางที่ 2 ค่าของสัดส่วนค่าความต้านความล้าต่อค่าความต้านแรงดึง (σ_w/σ_b) ของโลหะผงเหล็กกล้าอัดขึ้นรูปชนิด Fe-0.6%-

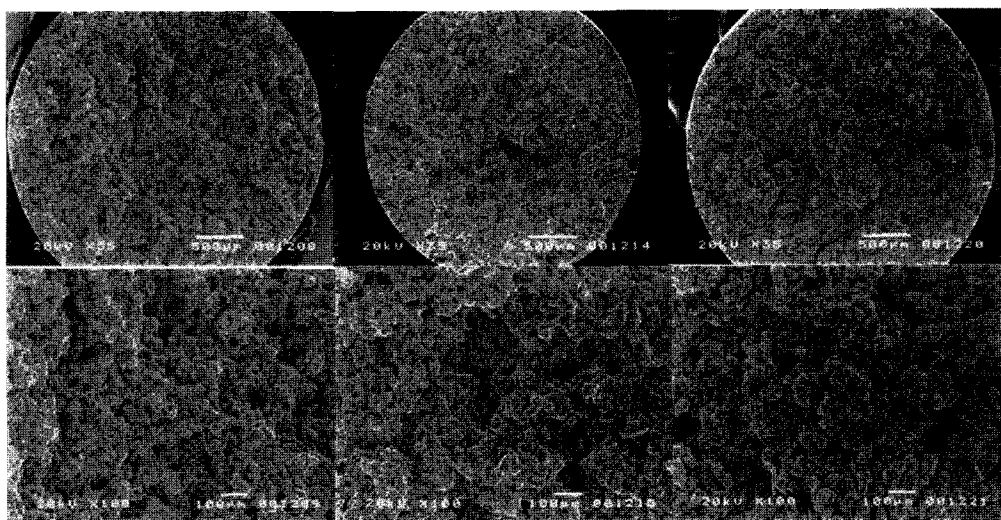
1.7%Cu มีค่าสูงสุด อาจเนื่องมาจากการประกอบด้วยเฟสเพอร์ไบร์ท ที่เหนียว ในทางตรงข้ามค่าความเด่นที่ทนต่อการแตกหักของโลหะผงเหล็กกล้าอัดขึ้นรูปชนิด Fe-1.2%-C-0.02%Cu มีค่าต่ำสุด เนื่องจากประกอบด้วยรูพรมีจำนวนมากและมีความหนาแน่น ต่ำ ตัวอย่างภาพอย่างแตกต่างของชิ้นงานโลหะผงเหล็กกล้าอัดขึ้นรูปทั้ง 3 ชนิด ถ่ายด้วยกล้องจุลทรรศน์อิเล็กตรอน แสดงในรูปที่ 6 จากภาพถ่าย แสดงให้เห็นการเริ่มต้นเกิดรอยร้าวที่รูพรมี เมื่อชิ้นงาน และขยายตัวไปตามขอบของอนุภาคโลหะผงไปสู่การแตกหัก ลักษณะรอยแตกของชิ้นงานโลหะผงอัดขึ้นรูปทั้ง 3 ชนิด ไม่มีความแตกต่างกัน

ตารางที่ 2 ค่าความต้านแรงดึง (σ_b) ความต้านความล้า (σ_w) สัดส่วน σ_w/σ_b ความหนาแน่น และอัตราการยึดตัวของโลหะผงเหล็ก กล้าดขึ้นรูปหัว 3 ชนิด

ชนิดของโลหะผงเหล็ก อัดขึ้นรูป	σ_b (MPa)	σ_w (MPa)	σ_w/σ_b	ความหนาแน่น (Mg/m ³)	อัตราการยึดตัว
Fe-0.6%C-1.7%Cu	308	130	0.42	6.96	3.6
Fe-0.8%C-2.1%Cu	390	150	0.38	7.13	3.7
Fe-1.2%C-0.01%Cu	365	120	0.33	6.81	3.1



รูปที่ 5 กราฟแสดงความสัมพันธ์ระหว่างความเค้นและจำนวนรอบที่ทำให้หักของงานแตกหัก สำหรับโลหะผงเหล็กกล้าดขึ้นรูปหัว 3 ชนิด อบท่ออุณหภูมิ 1200 องศาเซลเซียส



Fe-0.6%C-1.7%Cu

Fe-0.8%C-2.1%Cu

Fe-1.2%C-0.01%Cu

รูปที่ 6 แสดงรอยแตกที่ผิวของหักของงานโลหะผงเหล็กกล้าดขึ้นรูปหัว 3 ชนิด อบท่ออุณหภูมิ 1200 องศาเซลเซียส

4. สรุปผลการทดลอง

ตัวงานโลหะงเหล็กกล้าอัดขึ้นรูป 3 ชนิด ที่มีปริมาณคาร์บอนและทองแดงแตกต่างกัน ทำการอบที่อุณหภูมิในช่วงระหว่าง 900 ถึง 1200 องศาเซลเซียส เมื่อเวลา 1 ชั่วโมง ทำการวัดความหนาแน่น ความแข็ง ความต้านแรงดึง อัตราการยืดตัว ความต้านความล้า และศักยภาพรับแรงดึง ของเหล็กกล้า ผลกระทบต่อความต้านแรงดึงและความต้านความล้า สามารถที่จะสรุปผลได้ดังต่อไปนี้

4.1 การอบที่อุณหภูมิสูงกว่า 1100 องศาเซลเซียส ทองแดงที่ผสมอยู่ในสภาวะหลอมเหลวทำให้ความหนาแน่นมากขึ้นและส่งผลให้อัตราการยืด ความต้านแรงดึง และความต้านความล้ามีค่ามากขึ้น การอบที่อุณหภูมิ 1200 องศาเซลเซียส ถึงแม้ว่าจะทำให้เกิดการแพดเด็จ แต่เกิดการเติบโตของกรานในขณะเดียวกันทำให้ความแข็งแรงเพิ่มขึ้นไม่มากและเกือบคงที่

4.2 ปริมาณธาตุкар์บอนที่ผสมมากขึ้นทำให้ชั้นงานมีความแข็งแรงมากขึ้น แต่ถ้ามีปริมาณมากที่ทำให้เกิดเฟสที่เปละ จะทำให้อัตราการยืดตัวและค่าความแข็งแรงที่หนาต่อการแตกหักลดลง

4.3 ค่าความแข็งแรงที่หนาต่อความล้าของโลหะงเหล็กกล้าอัดขึ้นรูปทั้ง 3 ชนิด ไม่สอดคล้องกับค่าความแข็งแรงดึง ทั้งนี้อาจเนื่องจาก อิทธิพลของเฟสส่วนใหญ่ที่เกิดขึ้น ขนาดและรูปร่างของรูพรุน ต่อการเริ่มต้นเกิดรอยร้าวและการขยายตัวของรอยร้าว

5. กิตติกรรมประกาศ

ผู้เขียนขอขอบคุณบริษัท มิตซูบิชิ แมทเทอร์เชล จำกัด ที่ให้ความอนุเคราะห์สนับสนุนงและทำการอัดขึ้นรูปชิ้นงานตัวอย่าง

6. เอกสารอ้างอิง

- [1] ASM metals handbook, vol. 7, Metal Park, 1998.
- [2] Chawla, N., et al., The Interactive Role of Inclusions and SiC Reinforcement on the High-

Cycle Fatigue Resistance of Particle Reinforced Metal Matrix Composites, Metallurgical and Materials Transactions A, Vol.31A, pp. 951-957, 2000.

- [3] Chawla, N. and Deng, X., Microstructure and Mechanical Behavior of Porous Sintered Steels, Materials Science and Engineering, A 390, pp. 98-112, 2005.
- [4] Esperance, GL., et al., Evaluation of the Effect of Tempering on Microstructure and Properties Three Widely Used Sinter Hardening Alloy, Advances in Powder Metallurgy and Particulate Materials Vol. 2, pp. 39-46, 1995.
- [5] Chagnon, F. and Trude, Y., Effect of Sintering Parameters on Mechanical Properties of Sinter Hardened Material, Advances in Powder Metallurgy and Particulate Materials, Vol. 2, pp. 94-101, 1997.
- [6] Hadboletz, A. and Weiss, B., Fatigue Behavior of Iron Based Sintered Material, International Materials Reviews, Vol. 42, pp. 1-44, 1997.
- [7] Chawla, N., et al., Axial Fatigue Behavior of Binder-Treated versus Diffusion Alloyed Powder Metallurgical Steels, Materials Science and Engineering, A308 , pp. 180-188. , 2001.
- [8] Sudhakar, K., Fatigue Behavior of a High Density Powder Metallurgy Steel, International Journal of Fatigue, 22, pp. 729-734, 2000.
- [9] Polasik, S.J., Williams, J.J. and Chawla, N., Fatigue Crack Initiation and Propagation of Binder-Treated Powder Metallurgy Steels, Metallurgical and Materials Transactions A, Vol. 33A, pp. 73-81, 2002.

- [10] Candela, N., et al., Fracture Mechanisms in Sintered steels with 3.5% (wt.) Mo, Journal of Materials Science and Engineering, Vol. 259, Issue 1, pp. 98-104, 2001.
- [11] Bertini, L., et al., Tensile and Bending Behavior of Sintered Alloys, Experimental Results and Modeling, Journal of Engineering Materials and Technology Vol. 120, pp. 248-255, 1998.